

تلقیق ناوبری اینرسی با سامانه کمک ناوبری تعیین موقعیت برای افزایش دقت ناوبری در فضا

مهندی جعفری^{۱*}, آرش سنگری^۲ و جعفر روشنی‌یان^۳

۱، ۲ و ۳- دانشکده مهندسی هوافضا، دانشگاه صنعتی خواجه نصیرالدین طوسی

*تهران، تهرانپارس، وفادار شرقی

mjafari@mail.kntu.ac.ir

سیستم ناوبری اینرسی، راه حلی ایده‌آل برای تشخیص حرکت‌های با دینامیک سریع و با دقت بالاست، اما دقت خروجی موقعیت و وضعیت این سیستم با گذشت زمان کاهش چشمگیری پیدا می‌کند. از طرف دیگر، سیستم موقعیت‌یابی جهانی قادر است همواره با یک دقت متوسط - در حدود چند متر خطأ - موقعیت خود را در اطراف زمین مشخص کند. اما سیستم موقعیت‌یابی جهانی نیز به تنها برای ناوبری مازول‌های فضایی و مداری کافی نیست، زیرا اطلاعاتی در مورد وضعیت مدول نمی‌دهد. تلقیق سیستم موقعیت‌یابی جهانی با سیستم ناوبری اینرسی روشنی کم‌هزینه برای فراهم‌کردن یک سیستم ناوبری دقیق و مطمئن در کاربردهای هوافضایی غیر نظامی و نظامی است. در این مقاله با استفاده از فیلتر کالمون توسعه یافته یک الگوریتم برای تخمین خطای ناوبری و خطای حسگرها و GPS طراحی شده است. حجم محاسبات این روش نسبت به فیلترهای ذره‌ای بسیار کمتر است و می‌تواند در ناوبری تلقیقی GPS INS/GPS به طور گستردۀ مورد استفاده قرار گیرد و در کاربردهای فضایی دقت ناوبری مناسبی را فراهم می‌کند.

واژه‌های کلیدی: ناوبری تلقیقی، فیلتر کالمون، ناوبری اینرسی، سیستم موقعیت‌یابی جهانی

w_{b_g}	نویز سفیدی ژایروسکوپ
w_{b_a}	نویز سفیدی شتاب‌سنج
Δt	زمان بین دو اندازه‌گیری گیرنده GPS
مقدمه	

دقت موقعیت و وضعیت سیستم ناوبری اینرسی با گذشت زمان کاهش چشمگیری پیدا می‌کند، هر چند این سیستم در دینامیک‌های سریع دقت بالایی دارد؛ از طرف دیگر، دقت موقعیت سیستم موقعیت‌یابی جهانی (GPS) نیز بالاست ولی نرخ تعیین موقعیت آن کند بوده و وابسته به شرایط محیطی و بیرونی (از جمله اختلالات رادیویی، جهت و میدان دید آنتن و ...) است. با استفاده از روش‌های ناوبری تلقیقی، قادر خواهیم بود همواره با گذشت زمان با نرخ اندازه‌گیری سیستم ناوبری اینرسی، موقعیت و وضعیت مدول را با دقت مناسب و تقریباً ثابتی تخمین بزنیم. روش‌های ناوبری

علائم و اختصارات

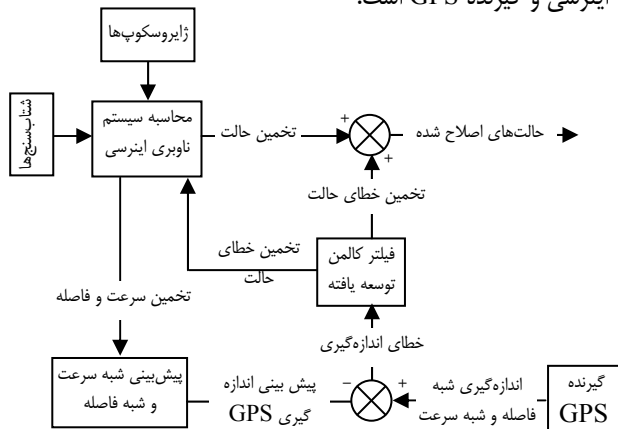
δr	خطای سرعت ناوبری اینرسی (شامل سه مؤلفه)
δv	خطای کوانتنین‌ها (شامل چهار مؤلفه)
δq	خطای بایاس حسگرهای شتاب‌سنج (شامل سه مؤلفه)
δb_a	خطای بایاس حسگرهای ژایروسکوپ (شامل سه مؤلفه)
δb_g	خطای حسگر شتاب‌سنج
δf	خطای حسگر ژایروسکوپ
δw	خطای بایاس ساعت گیرنده GPS نسبت به ساعت مرجع
δb_c	خطای رانش ساعت گیرنده GPS با واحد متر بر ثانیه
δd_c	زمان همبستگی فرآیند مارکوف ناپایداری بایاس ژایروسکوپ
τ_g	زمان همبستگی فرآیند مارکوف ناپایداری بایاس شتاب‌سنج
τ_a	

۱. دانشجوی دکتری (نویسنده مخاطب)

۲. پژوهشگر

۳. استاد

در شکل (۱) ساختار کلی سیستم ناوبری تلفیقی مورد استفاده در این مقاله به چشم می‌خورد که شامل ناوبری اینرسی، گیرنده GPS و فیلتر کالمون توسعه یافته بهمنظور جبران خطای ناوبری اینرسی و گیرنده GPS است.



شکل ۱ - ساختار مورد استفاده در تلفیق INS و GPS

در این ساختار، در هر گام سیستم ناوبری اینرسی، علاوه بر محاسبات ناوبری اینرسی، روابط گسترش خطای ناوبری اینرسی نیز به روزرسانی می‌شوند. به این ترتیب در هر گام انتگرال گیری ناوبری اینرسی، تخمین پیشین بردار حالت سیستم (شامل خطاهای ناوبری اینرسی و خطای حسگرهای اینرسی) به علاوه ماتریس کوواریانس خطای حالت پیشین به روزرسانی می‌شود.

در هر گام اندازه‌گیری GPS، با اخذ فاصله و سرعت ماهواره‌های GPS از گیرنده GPS و دریافت تخمین اولیه سرعت و موقعیت مدول از سیستم ناوبری اینرسی، شبیه فاصله و شبیه سرعت مدول نسبت به ماهواره‌های مدنظر، پیش‌بینی می‌شوند. با تفاضل این پیش‌بینی‌ها از اندازه‌گیری حقیقی گیرنده GPS، خطای اندازه‌گیری GPS نیز به عنوان اندازه‌گیری سیستم وارد فیلتر کالمون توسعه یافته می‌شود.

فیلتر کالمون توسعه یافته بر اساس تخمین پیشین حالت‌های سیستم و اندازه‌گیری انجام شده و ماتریس کوواریانس خطای تخمین حالت پیشین، تخمین حالت پسین را فراهم می‌کند. تخمین حالت پسین در واقع شامل مقادیر اصلاح شده خطای ناوبری، خطای حسگرهای اینرسی و خطای گیرنده GPS است. با اصلاح این خطاهای در بخش‌های مختلف بر اساس حالت‌های اصلاح شده، دقت ناوبری بهبود خواهد یافت.

معرفی متغیرهای حالت و مدل گسترش خطای

به منظور دست‌یابی به مدل فضایی حالت سیستم، باید مدل گسترش خطای سیستم ناوبری اینرسی و موقعیت‌یابی جهانی معرفی شده و

تلفیقی به طور کلی از الگوریتم‌های کالمون یا فیلترهای ذرهای بهره می‌گیرند. فیلترهای کالمون در حدود ۵۰ سال پیش با هدف استفاده در مأموریت‌های سفر به ماه در ناسا توسعه داده شدند و بعدها در زمینه‌های بسیار گسترده‌ای از جمله شناسایی سیستم‌ها و الگوریتم‌های تخمين به کار رفته‌اند. فیلتر کالمون که در ابتدا تنها برای سیستم‌های خطی و نویزهای با توزیع خطای گاوی می‌باشد، قابل استفاده بود، در طول این چند دهه دچار تغییر و تحولات مختلفی شد. به عنوان مثال یکی از مشهورترین نمونه‌های فیلتر کالمون که فیلتر کالمون توسعه یافته است، قادر به تخمین حالت سیستم‌های غیرخطی است [۷ و ۶].

در این مقاله الگوریتم مورد استفاده برای تخمین خطای ناوبری و خطای حسگرها و GPS، فیلتر کالمون توسعه یافته است، که حجم محاسبات آن نسبت به فیلتر کالمون بدون بو و فیلترهای ذرهای بسیار کمتر بوده و در ناوبری تلفیقی به طور گسترده‌ای مورد استفاده قرار گرفته و در کاربردهای فضایی دقت ناوبری مناسبی را فراهم می‌کند [۴ و ۳، ۲].

ساختار تلفیق

به منظور تخمین خطای سیستم به کمک فیلترهای کالمون، ابتدا باید آنها را به فرم فضایی حالت تبدیل کرد. در مورد سیستم‌های غیرخطی، خطی کردن سیستم در هر گام زمانی امری ضروری است، که در این صورت فیلتر کالمون توسعه یافته مطرح می‌شود. فیلتر کالمون در واقع یک مشاهده‌گر بهینه برای تخمین حالت‌های سیستم در حضور عدم قطعیت‌هایی از جمله نویز فرآیند و نویز اندازه‌گیری است. به طور کلی ساختار مورد استفاده در فیلترهای کالمون شامل دو گام پیش‌بینی و اندازه‌گیری (یا اصلاح) است. در گام پیش‌بینی، یک تخمین اولیه از حالت‌های سیستم بر اساس حالت قبلی و ورودی‌های سیستم به دست می‌آید و در گام اندازه‌گیری، بر اساس اندازه‌گیری انجام شده، تخمین اولیه اصلاح شده و یک تخمین دقیق‌تر از حالت‌های سیستم به دست می‌آید.

با توجه به این نکات متغیرهای حالت تعریف شده می‌توانند شامل خطاهای ناوبری (موقعیت، سرعت و وضعیت)، خطای حسگرهای اینرسی (بایاس ثابت حسگرها، خطای ضربی مقیاس، رانش بایاس) و خطای گیرنده GPS باشند. تنها محدودیتی که در تخمین این خطاهای وجود دارد، درجه مشاهده‌پذیری سیستم است که واپسیه به روش و تعداد اندازه‌گیری‌های انجام شده است. در این مقاله با ارجاع به مقالات، کتب و پایان‌نامه‌های مختلفی که مورد بررسی قرار گرفته‌اند [۴ و ۳، ۱۸]، متغیر حالت در نظر گرفته شدند که با توجه به ساختار مورد استفاده همگی مشاهده‌پذیر هستند.

$$A = \begin{bmatrix} 0 & -f_3 & f_2 \\ f_3 & 0 & -f_1 \\ -f_2 & f_1 & 0 \\ -f_1 & -f_2 & -f_3 \end{bmatrix} \quad (3)$$

ماتریس $Q(q)$ نیز در رابطه گسترش خطای ناوبری، یک ماتریس ۴ در ۳ است که به صورت زیر بر حسب تخمین کواترنین‌ها در هر لحظه به دست می‌آید:

$$Q(q) = \frac{1}{2} \begin{bmatrix} q_4 & -q_3 & q_2 \\ q_3 & q_4 & -q_1 \\ -q_2 & q_1 & q_4 \\ -q_1 & -q_2 & -q_3 \end{bmatrix} \quad (4)$$

ماتریس R در رابطه گسترش خطای ناوبری یک ماتریس ۴ در ۴ بر حسب کواترنین‌هاست که به صورت زیر تعریف می‌شود:

$$R = [2Q \quad -q] \quad (5)$$

در رابطه گسترش خطای ناوبری اینرسی، با در نظر گرفتن یک مدل جاذبه ساده زمین کروی، گرادیان جاذبه $G = \frac{\partial g(r)}{\partial r}$ به صورت زیر خواهد بود:

$$G_{3 \times 3} = \begin{bmatrix} \frac{3\mu x^2}{r^5} - \frac{\mu}{r^3} & \frac{3\mu xy}{r^5} & \frac{3\mu xz}{r^5} \\ \frac{3\mu xy}{r^5} & \frac{3\mu y^2}{r^5} - \frac{\mu}{r^3} & \frac{3\mu yz}{r^5} \\ \frac{3\mu xz}{r^5} & \frac{3\mu yz}{r^5} & \frac{3\mu z^2}{r^5} - \frac{\mu}{r^3} \end{bmatrix} \quad (6)$$

ماتریس $\Omega(\omega)$ در رابطه گسترش خطای ناوبری اینرسی، بر حسب خروجی حسگرهای ژایروسکوپ در هر لحظه به صورت زیر تعریف می‌شود:

$$\Omega(\omega) = \frac{1}{2} \begin{bmatrix} 0 & \omega_3 & -\omega_2 & \omega_1 \\ -\omega_3 & 0 & \omega_1 & \omega_2 \\ \omega_2 & -\omega_1 & 0 & \omega_3 \\ -\omega_1 & -\omega_2 & -\omega_3 & 0 \end{bmatrix} \quad (7)$$

با صرفه نظر کدن از خطای ضریب مقیاس حسگرهای اینرسی و خطاهای کوتاه مدت این حسگرهای به جز ناپایداری بایاس، می‌توان خطای حسگرهای اینرسی در رابطه گسترش خطای ناوبری اینرسی را به صورت زیر ساده‌سازی کرد:

$$\delta\omega = \delta b_g \quad (8)$$

$$\delta f = \delta b_a$$

معادلات خطای آن‌ها به دست آمده و خطی‌سازی شود. سپس براساس این مدل فضای حالت، فیلتر کالمن توسعه یافته مورد استفاده قرار گرفته و خطای ناوبری اینرسی جرمان می‌شود.

متغیرهای حالت مورد استفاده در تلقیق سیستم ناوبری اینرسی و ماهواره‌ای در این مقاله به شرح زیر هستند:

$$\delta x = \begin{bmatrix} \delta r \\ \delta v \\ \delta q \\ \delta b_g \\ \delta b_a \\ \delta b_c \\ \delta d_c \end{bmatrix}_{18 \times 1} \quad (1)$$

δb_c به صورت خطای فاصله با واحد متر بیان می‌شود (به عبارت دیگر δb_c برابر است با خطای ساعت گیرنده GPS ضرب در سرعت نور). خطای δb_c ناشی از عدم همزمانی ساعت گیرنده با ماهواره‌های GPS است.

خطای δd_c ناشی از عدم دقیق فرکانس نوسانگر ساعت داخلی گیرنده GPS است و در طول زمان موجب تغییر بایاس ساعت گیرنده δb_c می‌شود.

مدل سازی گسترش خطای سیستم ناوبری (INS)

مدل گسترش خطای ناوبری اینرسی^۵ (خطای موقعیت، سرعت و وضعیت به صورت کواترنین) بر اساس روند طی شده در مرجع [۵]، در دستگاه اینرسی زمین مرکزی، به صورت رابطه زیر قابل توصیف است:

$$\begin{bmatrix} \delta \dot{r} \\ \delta \dot{v} \\ \delta \dot{q} \end{bmatrix} = C_b^i(\hat{q}) \left[2A^T R^T \delta q + \delta f \right] + \frac{\partial g(r)}{\partial r} \delta r \quad (2)$$

$$Q(\hat{q}) \delta \omega + \Omega(\hat{\omega}) \delta q$$

ماتریس $C_b^i(\hat{q})$ ماتریس کسینوس‌های هادی انتقال از دستگاه بدنی پرندۀ فضایی به دستگاه اینرسی زمین مرکزی است که با استفاده از تخمین کواترنین‌ها در هر لحظه قابل محاسبه است. ماتریس A در رابطه گسترش خطای ناوبری اینرسی یک ماتریس ۴ در ۳ است که بر اساس خروجی حسگرهای شتاب‌سنج در هر لحظه به دست می‌آید:

5. Inertial Navigation System

مدل‌سازی گسترش خطای حالت (تخمین پیشین)

به کمک مدل گسترش خطای ناوبری اینرسی و خطای گیرنده GPS می‌توان مدل فضای حالت سیستم ناوبری تلفیقی اینرسی و GPS را به فرم زیر نوشت:

$$\begin{aligned} \dot{x}(t) &= Fx(t) + G(t)w(t) \\ w(t) &\sim N(0, Q) \end{aligned} \quad (13)$$

در رابطه فوق، Q ماتریس کوواریانس نویز فرآیند است که بر حسب نویز متغیرهای حالت مقادیر آن تعیین می‌شود. ماتریس حالت F در رابطه فوق به صورت زیر محاسبه می‌شود:

$$F = \begin{bmatrix} F_{b_g} & F_{b_a} \end{bmatrix} \quad (14)$$

$$F_{b_g} = -\frac{1}{\tau_g} I_{3 \times 3}$$

$$F_{b_a} = -\frac{1}{\tau_a} I_{3 \times 3}$$

$$G = \begin{bmatrix} 0_{3 \times 3} & I_{3 \times 3} & 0_{3 \times 4} & 0_{3 \times 3} & 0_{3 \times 3} & 0_{3 \times 1} & 0_{3 \times 1} \\ G_{3 \times 3} & 0_{3 \times 3} & D_{3 \times 4} & 0_{3 \times 3} & C_b^i(\hat{q}) & 0_{3 \times 1} & 0_{3 \times 1} \\ 0_{4 \times 3} & 0_{4 \times 3} & \Omega(\hat{\omega}) & Q(\hat{q}) & 0_{4 \times 3} & 0_{4 \times 1} & 0_{4 \times 1} \\ 0_{3 \times 3} & 0_{3 \times 3} & 0_{3 \times 4} & F_{b_g} & 0_{3 \times 3} & 0_{3 \times 1} & 0_{3 \times 1} \\ 0_{3 \times 3} & 0_{3 \times 3} & 0_{3 \times 4} & F_{b_a} & 0_{3 \times 1} & 0_{3 \times 1} & 0_{3 \times 1} \\ 0_{1 \times 3} & 0_{1 \times 3} & 0_{1 \times 4} & 0_{1 \times 3} & 0_{1 \times 3} & 0 & 1 \\ 0_{1 \times 3} & 0_{1 \times 3} & 0_{1 \times 4} & 0_{1 \times 3} & 0_{1 \times 3} & 0 & 0 \end{bmatrix}$$

ماتریس تبدیل ورودی G نیز به صورت زیر محاسبه می‌شود:

$$G = \begin{bmatrix} I_{3 \times 3} & 0_{3 \times 3} & 0_{3 \times 4} & 0_{3 \times 3} & 0_{3 \times 3} & 0_{3 \times 1} & 0_{3 \times 1} \\ 0_{3 \times 3} & I_{3 \times 3} & 0_{3 \times 4} & 0_{3 \times 3} & C_b^i(\hat{q}) & 0_{3 \times 1} & 0_{3 \times 1} \\ 0_{4 \times 3} & 0_{4 \times 3} & I_{4 \times 4} & Q(\hat{q}) & 0_{4 \times 3} & 0_{4 \times 1} & 0_{4 \times 1} \\ 0_{3 \times 3} & 0_{3 \times 3} & 0_{3 \times 4} & I_{3 \times 3} & 0_{3 \times 3} & 0_{3 \times 1} & 0_{3 \times 1} \\ 0_{3 \times 3} & 0_{3 \times 3} & 0_{3 \times 4} & 0_{3 \times 3} & I_{3 \times 3} & 0_{3 \times 1} & 0_{3 \times 1} \\ 0_{1 \times 3} & 0_{1 \times 3} & 0_{1 \times 4} & 0_{1 \times 3} & 0_{1 \times 3} & 0 & 1 \\ 0_{1 \times 3} & 0_{1 \times 3} & 0_{1 \times 4} & 0_{1 \times 3} & 0_{1 \times 3} & 0 & 0 \end{bmatrix} \quad (15)$$

مدل‌سازی اندازه‌گیری GPS

اندازه‌گیری‌های خام گیرنده GPS به دو صورت، شبیه‌فاصله و شبیه‌سرعت (نرخ شبیه‌فاصله) است. همان‌طور که در مدل گیرنده GPS شرح داده شد، شبیه‌فاصله، اندازه‌گیری گیرنده GPS از فاصله بین ماهواره GPS تا گیرنده است، که بر اثر عوامل مختلف، دچار خطأ شده است. شبیه‌سرعت، نیز، اندازه‌گیری سرعت نسبی گیرنده و ماهواره GPS در راستای دید گیرنده از ماهواره GPS است، که با روش داپلر انجام می‌شود. این اندازه‌گیری نیز تحت تأثیر عوامل خطأ قرار دارد.

مدل گسترش خطای ناپایداری بایاس نیز به صورت یک فرآیند مارکوف مرتبه اول به صورت زیر درنظر گرفته می‌شود:

$$\begin{aligned} \dot{\delta b}_g &= -\frac{1}{\tau_g} I_{3 \times 3} \delta b_g + w_{b_g} \\ \dot{\delta b}_a &= -\frac{1}{\tau_a} I_{3 \times 3} \delta b_a + w_{b_a} \end{aligned} \quad (9)$$

w_{b_g} و w_{b_a} نویز سفیدی هستند که در خروجی این حسگرهای ظاهر می‌شوند. مقادیر این پارامترها بر اساس مشخصات حسگرهای اینرسی بدست می‌آیند.

مدل‌سازی گسترش خطای گیرنده GPS

در ساختار ترکیب ناوبری اینرسی و GPS به منظور حذف همبستگی بین خروجی گیرنده GPS، از اندازه‌گیری‌های شبیه‌فاصله و نرخ شبیه‌فاصله (شبیه‌سرعت) برای هر ماهواره GPS در دسترس استفاده می‌شود. به منظور ساده‌سازی مدل فضای حالت فیلتر کالمن، از خطاهای یونوسفر، چندمسیری و خطای ساعت ماهواره چشم‌پوشی کرده و تنها خطای ساعت گیرنده را مورد توجه قرار می‌دهیم. خطای ساعت گیرنده می‌تواند بر اثر اختلاف مرجع با ساعت ماهواره GPS یا بر اثر تفاوت فرکانس نوسانگر ساعت گیرنده ایجاد شده باشد. از این رو دو متغیر حالت برای این دو خطای درنظر گرفته شده است. گسترش خطای این متغیرهای حالت به صورت زیر هستند:

$$\begin{aligned} \dot{\delta b}_c &= \delta d_c + w_f \\ \dot{\delta d}_c &= w_g \end{aligned} \quad (10)$$

در این رابطه δb_c اختلاف ساعت گیرنده GPS با ماهواره‌های GPS و δd_c اختلاف فرکانس نوسانگر ساعت گیرنده GPS با فرکانس نوسانگر مرجع ماهواره‌های GPS است. با مدل‌سازی خطای GPS در مرجع [۴]، پارامترهای w_f و w_g که با نویز گاوسی مدل‌سازی می‌شوند نیز با ماتریس کوواریانس خطای زیر توصیف می‌شوند:

$$Q_{GPS} = \begin{bmatrix} S_f \Delta t + S_g \frac{\Delta t^3}{3} & S_g \Delta t^2 \\ S_g \frac{\Delta t^2}{2} & S_g \Delta t \end{bmatrix} \quad (11)$$

پارامترهای S_f و S_g وابسته به فناوری ساخت گیرنده‌های GPS هستند. برای گیرنده‌های GPS تجاری این پارامترها در حدود مقادیر زیر هستند:

$$\begin{aligned} S_f &= 1.0c^2 \times 10^{-9} (m^2 / s) \\ S_g &= 4.0c^2 \pi^2 \times 10^{-20} (m^2 / s^3) \end{aligned} \quad (12)$$

روابط پیش‌بینی و اصلاح متغیرهای حالت با استفاده از فیلتر کالمن

همان‌طور که پیش‌تر اشاره شد، روابط مورد استفاده در فیلتر کالمن، دو دسته هستند، روابط پیش‌بینی حالت با گذشت زمان و روابط اصلاح حالت بر اساس اندازه‌گیری. به این ترتیب در هر گام اجرای محاسبات ناوبری، باید روابط پیش‌بینی حالت را اجرا کرد تا تخمین حالت پیش‌بینی به دست آید. ابتدا باید رابطه فضایی حالت پیوسته را به فرم گسسته تبدیل کرد:

$$\Phi_k = I_{18 \times 18} + F \Delta t \quad (20)$$

$$x[k+1] = \Phi_k x[k] + w_d[k]$$

که در این رابطه، Δt گام زمانی رابطه پیش‌بینی است، که در این سیستم برابر با گام زمانی انتگرال‌گیری سیستم ناوبری اینرسی است. همچنین $[k] W_d$ نویز گسسته شده مدل فضایی حالت سیستم تلقیق است که با رابطه زیر بر حسب کوواریانس نویز سیستم پیوسته Q به دست می‌آید:

$$w_d[k] \sim N(0, Q_d[k]) \quad (21)$$

$$Q_d[k] \approx G(t_k) Q(t_k) G^T(t_k) \Delta t$$

روابط زیر تخمین حالت پیش‌بینی $x[k+1|k]$ و کوواریانس خطای این تخمین $P[k+1|k]$ را بر حسب تخمین حالت پیش‌بینی گام قبلی و کوواریانس آن نشان می‌دهند:

$$x[k+1|k] = \Phi_k x[k|k] \quad (22)$$

$$P[k+1|k] = \Phi_k P[k|k] \Phi_k^T + Q_d[k]$$

شایان ذکر است، به دلیل اینکه نرخ بهروزرسانی اندازه‌گیری‌های گیرنده GPS بسیار کمتر از انتگرال‌گیری سیستم ناوبری اینرسی است، روابط پیش‌بینی که وظیفه مدل‌سازی گسترش خطای سیستم ناوبری اینرسی را دارند، پی در پی اجرا می‌شوند تا زمانی که گیرنده GPS داده اندازه‌گیری جدیدی به دست آورد. از این رو به دلیل عدم بهروزرسانی تخمین پیش‌بینی، تخمین پیش‌بینی در این اجرای پی در پی روابط پیش‌بینی بر حسب مقادیر گام قلی روابط پیش‌بینی محاسبه خواهد شد.

با هر بار اندازه‌گیری گیرنده GPS، به تعداد ماهواره‌های GPS که در دیدرس گیرنده قرار دارند، ماتریس H^j را تشکیل داده و با چسباندن آرایه‌های این ماتریس‌ها به صورت سطری به یکدیگر یک ماتریس H به فرم زیر تشکیل می‌شود:

در گام بهروزرسانی تخمین پسین (اصلاح شده) فیلتر کالمن که با دردست داشتن اندازه‌گیری‌های گیرنده GPS انجام می‌شود، تفاوت بین اندازه‌گیری‌های گیرنده GPS و پیش‌بینی سیستم تخمین از شبیه‌فاسله و شبیه‌سرعت، بر اساس تخمین حالت پیش‌بینی (اصلاح نشده)، به عنوان اندازه‌گیری فیلتر کالمن، وارد سیستم تلقیق می‌شوند.

پیش‌بینی سیستم تخمین از شبیه‌فاسله ρ_{est}^j و شبیه‌سرعت $\dot{\rho}_{est}^j$ برای هر ماهواره به صورت زیر به دست می‌آیند:

$$\rho_{est}^j = |r_{gps}^j - r| \quad (16)$$

$$\dot{\rho}_{est}^j = \left(v_{gps}^j - v \right) \cdot \frac{(r_{gps}^j - r)}{|r_{gps}^j - r|}$$

در رابطه فوق r_{gps}^j و v_{gps}^j موقعیت و سرعت ماهواره زمینی است که گیرنده قادر به دریافت سیگنال‌های آن است. این مقادیر به ممکن تبادل داده بین گیرنده و ماهواره به دست می‌آیند. r و v نیز تخمین موقعیت و سرعت مدول، بر اساس خروجی ناوبری اینرسی است.

به این ترتیب تفاضل اندازه‌گیری GPS و پیش‌بینی آن، به صورت زیر به دست می‌آید:

$$\delta z_{Measurement}^j = \begin{bmatrix} \rho^j \\ \dot{\rho}^j \end{bmatrix} - \begin{bmatrix} \rho_{est}^j \\ \dot{\rho}_{est}^j \end{bmatrix} \quad (17)$$

تخمین خطای GPS در مدل فضایی حالت معرفی شده، تابعی است از خطای موقعیت و سرعت ناوبری اینرسی و خطای بایاس ساعت و اختلاف فرکانس ساعت گیرنده GPS که به صورت زیر به دست می‌آید:

$$\delta z^j = H^j X \quad (18)$$

$$\delta z^j = \begin{bmatrix} (U_j^i)^T & 0_{3 \times 3} & 0_{3 \times 4} & 0_{3 \times 3} & 0_{3 \times 3} & 1 & 0 \\ 0_{3 \times 3} & (U_j^i)^T & 0_{3 \times 4} & 0_{3 \times 3} & 0_{3 \times 3} & 1 & 0 \end{bmatrix} \begin{bmatrix} \delta r \\ \delta v \\ \delta q \\ \delta b_g \\ \delta b_a \\ \delta b_c \\ \delta d_c \end{bmatrix}$$

که در این رابطه، U_j^i برداری در دستگاه مختصات اینرسی زمین مرکزی، به طول واحد است که از گیرنده GPS در جهت ماهواره زام است. این بردار را در هر لحظه بر حسب تخمین موقعیت مدول و ماهواره GPS می‌توان به صورت زیر محاسبه کرد:

$$U_j^i = \frac{(r_{gps}^j - r)}{|r_{gps}^j - r|} \quad (19)$$

جدول ۱ - مقادیر پارامترهای خطای سیستماتیک حسگر ژایروسکوپ

انحراف معیار	مقدار متوسط	واحد	نام پارامتر
۰/۰۰۰۱	۰/۰۰۰۱	بدون واحد	خطای ضربی مقیاس
۰/۱	۰/۵	درجه بر ساعت	خطای بایاس ثابت
۰/۰۴	۰/۱۵	درجه بر ساعت	خطای بایاس حساس به شتاب

جدول ۲ - مقادیر پارامترهای خطای سیستماتیک حسگر شتاب سنج

انحراف معیار	مقدار متوسط	واحد	نام پارامتر
۰/۰۰۰۱	۰/۰۰۰۱	بدون واحد	خطای ضربی مقیاس
۰/۰۲	۰/۲	میلی g	خطای بایاس ثابت

در مدل سازی خطای گیرنده GPS، خطای بایاس ساعت و رانش فرکانس ساعت گیرنده GPS به طور بدینانه، بزرگ فرض شد، تا اثر عوامل خطای احتمالی وابسته به شرایط مختلف به گونه‌ای لحاظ شود. به این ترتیب مقدار 3σ خطای بایاس ساعت گیرنده معادل با 60 متر و مقدار رانش فرکانس آن معادل $0/03$ متر بر ثانیه در نظر گرفته شد. همچنین نویز گوسی با انحراف معیار $1/001$ متر بر ثانیه بر روی رانش فرکانس گیرنده افزوده شد تا به صورت یک فرآیند گام تصادفی در بایاس ساعت گیرنده، تأثیرگذار باشد.

به منظور مقایسه نتایج، ابتدا نمودار خطای موقعیت، سرعت و وضعیت ناوبری اینرسی با خطای حسگرهای اینرسی و بدون فعال سازی الگوریتم‌های تلفیق در شکل‌های (۲) تا (۴) ارائه می‌شود. سپس در شکل‌های (۵) تا (۱۱) این خطاهای پس از فعال سازی الگوریتم‌های تلفیق در دو فرکانس نمونه‌برداری 1 و 10 هرتز ارائه می‌گردد.

نتیجه‌گیری

الگوریتم تلفیق ناوبری اینرسی با GPS تأثیر بسیار مطلوبی بر خطای ناوبری دارد و پس از همگرایی تخمین خط، دقت مورد نیاز الگوریتم هدایت را تأمین کرده و منجر به افزایش دقت در مانورهای فضایی می‌شود. نرخ نمونه‌برداری مناسب گیرنده GPS برای استفاده در شرایط مدول مداری، در حدود 10 هرتز است. در شبیه‌سازی ارائه شده، خطای سرعت پس از گذشت 500 ثانیه از آغاز تلفیق به کمتر از $1/0$ متر بر ثانیه همگرا خواهد شد که مقداری کاملاً مطلوب و پایدار نسبت به ناوبری اینرسی تنهای است که خطای آن حداقل با توان یک زمان افزایش می‌یابد و دهها برابر بوده است.

$$H = \begin{bmatrix} H^j \\ H^k \\ \vdots \\ H^p \end{bmatrix} \quad (23)$$

به این ترتیب با چسباندن بردار اندازه‌گیری‌های هر ماهواره GPS به یکدیگر با همان ترتیب ماتریس H ، ماتریس δz را ایجاد می‌کنیم:

$$\delta z = \begin{bmatrix} \delta z^j \\ \delta z^k \\ \vdots \\ \delta z^p \end{bmatrix} \quad (24)$$

حال، با محاسبه بهره کالمن و به روزرسانی (اصلاح) تخمین حالت‌ها، تخمین حالت پسین را به دست می‌آوریم:

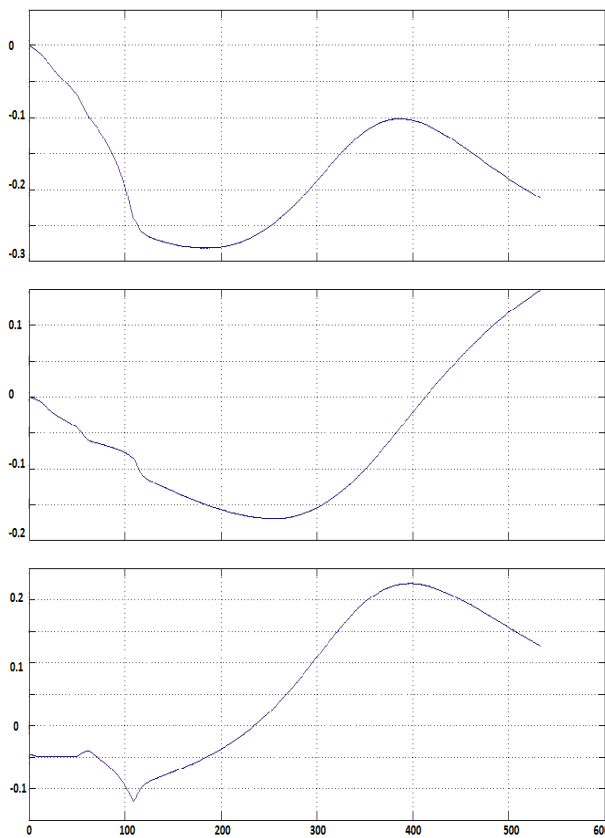
$$\begin{aligned} K[k] &= P[k+1|k] H^T [H P[k+1|k] H^T + R]^{-1} \\ x[k+1|k+1] &= x[k+1|k] + K[k] [\delta z_{Measurement} - H x[k+1|k]] \\ P[k+1|k+1] &= [I - K[k] H] P[k+1|k] \end{aligned} \quad (25)$$

در رابطه فوق R ماتریس نویز اندازه‌گیری است، که بر حسب مدل سازی نویز گیرنده GPS در اندازه‌گیری شبکه‌فاصله و شبکه‌سرعت هر اندازه‌گیری ماهواره تنظیم خواهد شد. با اصلاح خطای ناوبری، اصلاح خطای بایاس حسگرهای اینرسی و اصلاح خطای گیرنده GPS به تدریج خطای تخمین حالت‌ها، به صفر میل خواهد کرد.

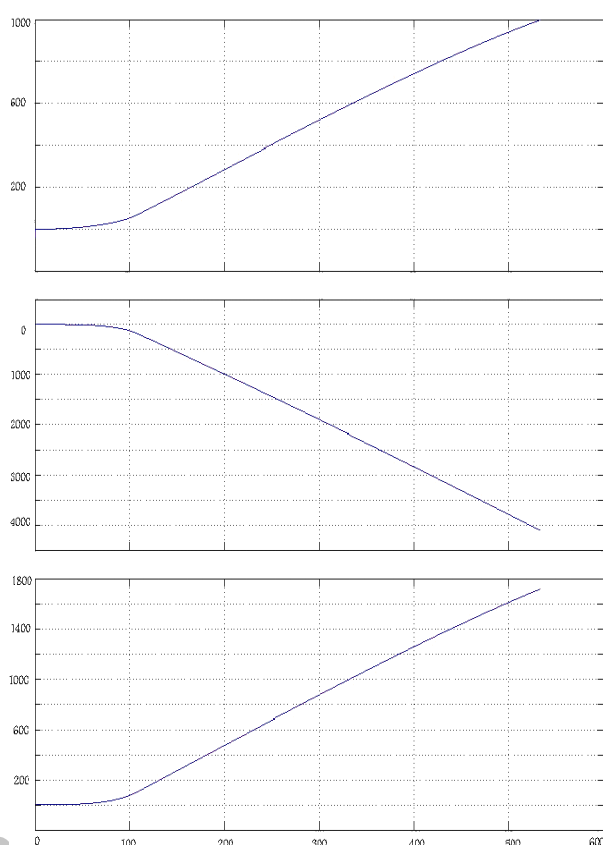
پیاده‌سازی ناوبری تلفیقی برای افزایش دقت ناوبری در مازول مداری

نرخ نمونه‌برداری گیرنده GPS برای کاربردهای با سرعت و شتاب بالا باید در مرتبه 10 هرتز باشد. بنابراین در اجرای شبیه‌سازی از این نرخ نمونه‌برداری برای گیرنده GPS استفاده شد ولی به منظور مقایسه نتایج، خطای ناوبری تلفیقی با نرخ نمونه‌برداری 1 هرتز نیز ارائه می‌شود.

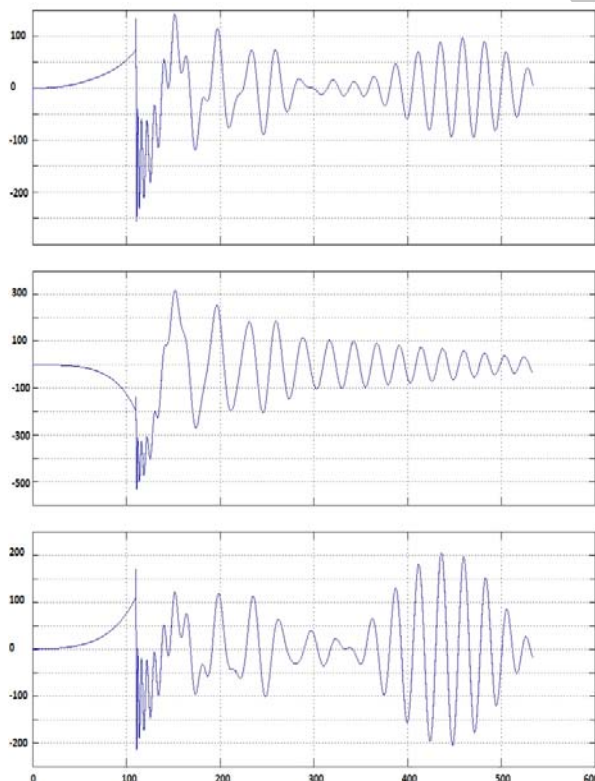
در مدل سازی خطای سیستماتیک حسگرهای اینرسی، پارامترهای خطای ضربی مقیاس، بایاس ثابت و بایاس حساس به شتاب مورد توجه قرار می‌گیرند. پارامترهای خطای حسگرهای ژایروسکوپ و شتاب سنج به صورت جدول‌های (۱) و (۲) در نظر گرفته شده است:



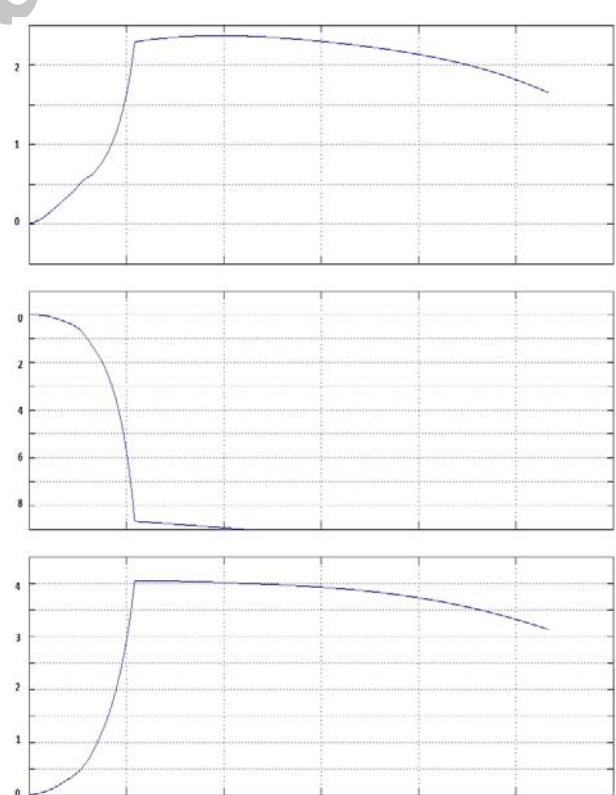
شکل ۴- خطای وضعیت ناوبری اینرسی (با واحد درجه) با خطای حسگرهای اینرسی



شکل ۲- خطای موقعیت ناوبری (با واحد متر) با خطای حسگرهای اینرسی

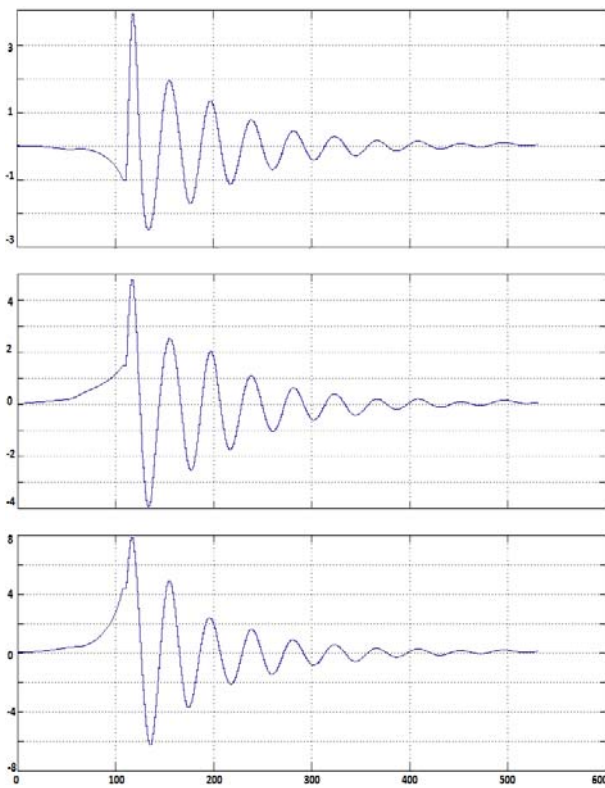


شکل ۵- خطای ۳ مولفه موقعیت (با واحد متر) در تلقیق ناوبری اینرسی با GPS با نرخ نمونه برداری ۱۰ هرتز

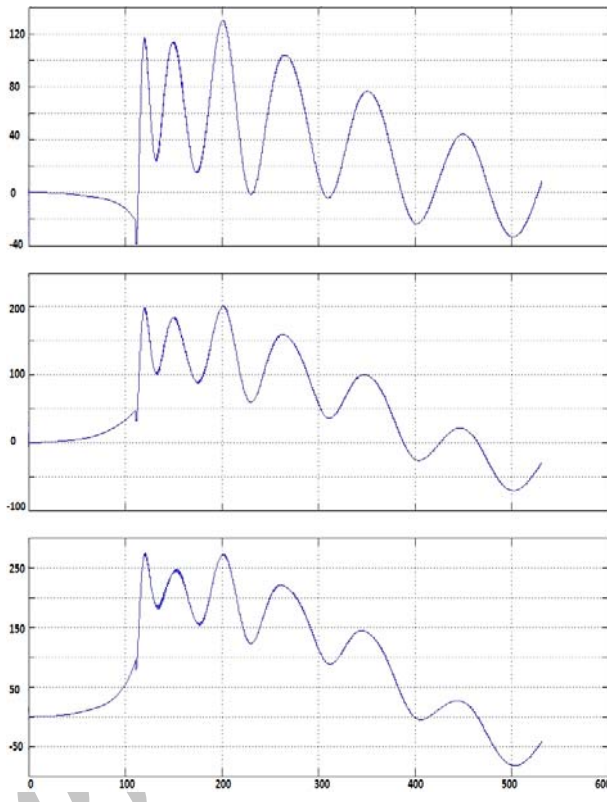


شکل ۳- خطای سرعت ناوبری (با واحد متر بر ثانیه) با خطای حسگرهای اینرسی

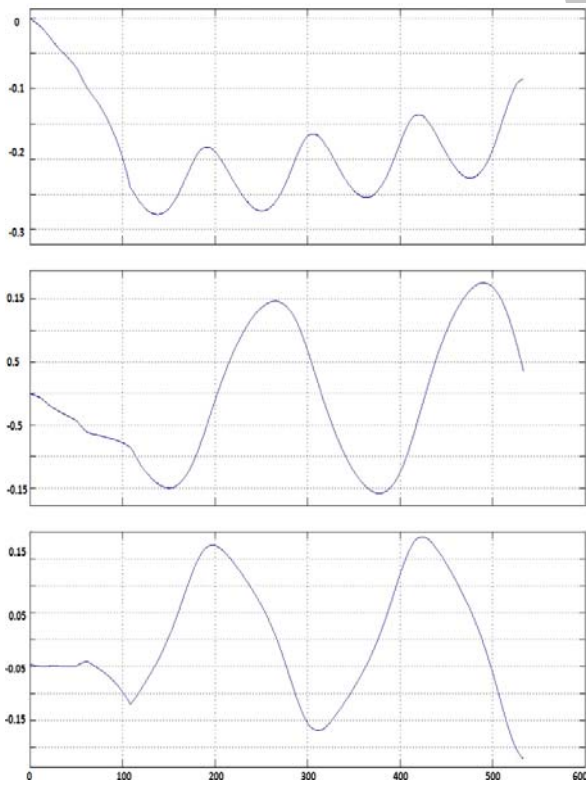
مهندی جعفری، آرش سنگری و جعفر روشنی‌یان



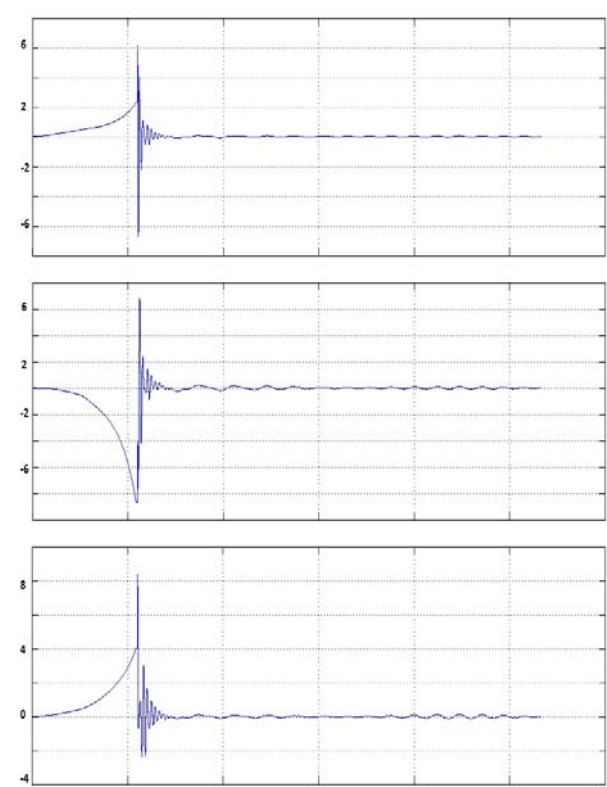
شکل ۸- خطای ۳ مؤلفه سرعت (با واحد متر بر ثانیه) در تلفیق ناوبری اینرسی با GPS با نرخ نمونهبرداری ۱ هرتز



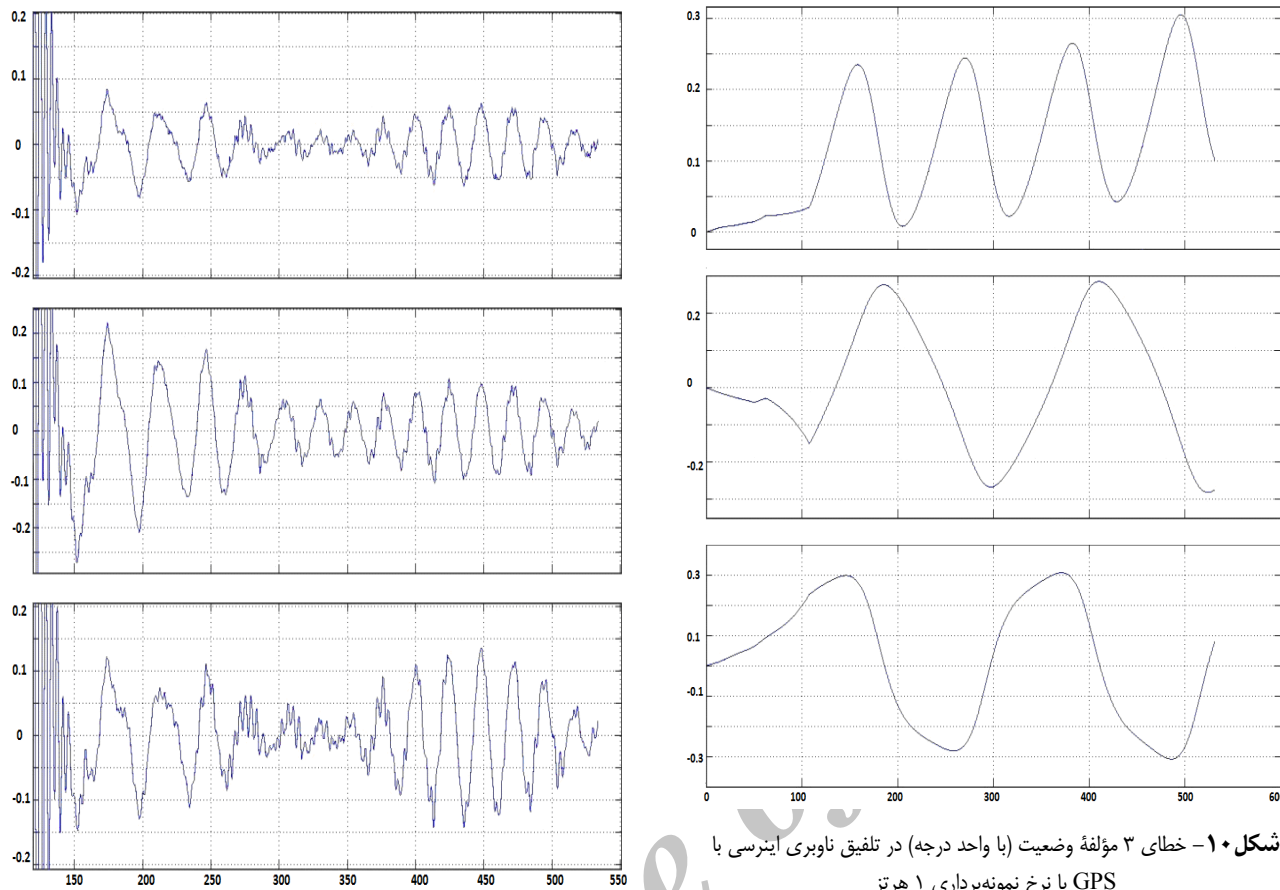
شکل ۶- خطای ۳ مؤلفه موقعیت (با واحد متر) در تلفیق ناوبری اینرسی با GPS با نرخ نمونه برداری ۱ هرتز



شکل ۹- خطای ۳ مؤلفه وضعیت (با واحد درجه) در تلفیق ناوبری اینرسی با GPS با نرخ نمونهبرداری ۱۰ هرتز



شکل ۷- خطای ۳ مؤلفه سرعت (با واحد متر بر ثانیه) در تلفیق ناوبری اینرسی با GPS با نرخ نمونهبرداری ۱۰ هرتز



شکل ۱۰- خطای ۳ مؤلفه وضعیت (با واحد درجه) در تلقیق ناوبری اینرسی با GPS با نرخ نمونهبرداری ۱ هرتز

شکل ۱۱- نگاهی دقیق‌تر به خطای ۳ مؤلفه سرعت (با واحد متر بر ثانیه) در تلقیق ناوبری اینرسی با GPS با نرخ نمونهبرداری ۱۰ هرتز

- [4] Gaylor, D. E., Integrated GPS/INS Navigation System for Design for Autonomous Spacecraft Rendezvous, (Thesis Ph.D.), The University of Texas at Austin, 2003.
- [5] Gaylor D. E., *Simulation of an Unaided INS in Orbit*, Center for Space Research, The University of Texas at Austin, 2002.
- [6] Faruqi, F. A., "Non-Linear Mathematical Model for Integrated Global Positioning/Inertial Navigation Systems," Elsevier, *Applied Mathematics and Computation*, Vol. 115, Issues 2-3, 2000, pp. 191- 212.
- [7] Faruqi, F. A., "Extended Kalman Filter Synthesis for Integrated Global Positioning/Inertial Navigation Systems," Elsevier, *Applied Mathematics and Computation*, Vol. 115, Issues 2-3, 2000, pp. 213-227.

مراجع

- [1] Grejner-Brzezinska, D., Toth, Ch. and Yi, Y., "On Improving Navigation Accuracy of GPS/INS Systems", *Photogrammetric Engineering & Remote Sensing*, Vol. 71, No. 4, 2005, pp. 377-389.
- [2] Ma, W., "Autonomous Integrated Navigation Plan for Space Transfer Vehicle", *IEEE Systems and Control in Aerospace and Astronautics*, ISSCAA 2th International Symposium, 2008.
- [3] Gaylor, D. E., "GPS/INS Kalman Filter Design for Spacecraft Operating in the Proximity of the International Space Station", *AIAA GN&C Conference*, Austin, TX, August 11, 2003.